

شکل‌شناسی و خواص ویسکوالاستیک خطی آمیخته‌های LDPE/EVA و HDPE/EVA در حالت مذاب

Morphology and Linear Viscoelastic Properties of HDPE/EVA and LDPE/EVA Blends in the Melt State

حسین علی خنکدار^{۱*}، احمد یاوری^۲، احمد اسدی نژاد^۲، سید حسن جعفری^۲

۱- تهران، پژوهشگاه پلیمر و پتروشیمی ایران، پژوهشکده فرایند، گروه پلاستیک، صندوق پستی ۱۴۹۶۵/۱۱۵

۲- تهران، دانشگاه تهران، دانشکده فنی، گروه مهندسی شیمی، صندوق پستی ۱۱۳۶۵/۴۵۶۳

دریافت: ۸۳/۱/۶، پذیرش: ۸۴/۲/۲۵

چکیده

در این پژوهش، ابتدا آمیخته‌های LDPE/EVA و HDPE/EVA در حالت مذاب تهیه شدند، سپس شکل‌شناسی آنها به وسیله میکروسکوپ الکترون پویشی و خواص رئولوژی آنها در حالت پویا (دینامیک) بررسی شد. نتایج شکل‌شناسی، دوفاز مجزا را برای هر دو آمیخته نشان می‌دهد که این بیانگر امتراج ناپذیری دو آمیخته در همه ترکیب درصدهای مطالعه شده است. افزون بر این، اندازه قطره‌ها در آمیخته LDPE/EVA کوچکتر از اندازه قطره‌ها در آمیخته HDPE/EVA است. این موضوع به دلیل شباهت ساختاری بیشتر اجزا و نسبت گرانروی کمتر در آمیخته LDPE/EVA است. برای بررسی مدول آمیخته‌ها مدل پالیرن بکار گرفته شد. با استفاده از این مدل، تنش بین سطحی در آمیخته‌ها محاسبه گردید. نتایج بدست آمده مشاهدات شکل‌شناسی را تأیید می‌کند.

واژه‌های کلیدی

شکل‌شناسی،
آمیخته، ویسکوالاستیک،
پلی اتیلن، اتیلن - وینیل استات،

مقدمه

به شکل‌شناسی ایجاد شده پس از آمیخته سازی بستگی دارد. خواص رئولوژی آمیخته‌ها نیز روی فرایند شکل دهی پلیمر بشدت اثر می‌گذارد. بنابراین، بررسی شکل‌شناسی و خواص رئولوژی آمیخته‌های پلیمری اهمیت زیادی دارد [۱-۳].

آمیختن دو یا چند پلیمر روشی مؤثر و ارزان برای تولید مواد پلیمری بدون نیاز به سنتز هموپلیمرهای جدید است. تنها تعداد محدودی از زوجهای پلیمری امتراج پذیرند، بیشتر آنها امتراج ناپذیر بوده، آمیخته‌ای دوفازی تولید می‌کنند. خواص نهایی آمیخته پلیمری حاصل

Key Words

morphology,
blend, viscoelastic,
polyethylene, ethylene-vinylacetate

۱۰۰ درصد وزنی) در حالت مذاب و در مخلوط کن داخلی با سرعت ۵۰ rpm و دمای ۱۴۵ °C به مدت ۱۰ min تهیه شدند. انتخاب ۱۰ min به عنوان زمان اختلاط به منظور دستیابی به مخلوطی ظاهرًا همگن و یکنواخت بوده که بر اساس ثابت ماندن گشتاور مخلوط کن استوار است. سپس، نمونه‌ها از طریق قالبگیری فشاری با استفاده از پرس آزمایشگاهی Fortune در دمای ۱۹۰ °C در مدت ۳ min در فشار ۱۰ MPa تهیه و با سرعت ۱۵ K/min تا دمای محیط سرد شدند. انتخاب ۱۵ K/min به عنوان سرعت سرمایش، به منظور حفظ مشخصه‌های آمیخته ضمن تغییر از حالت مذاب به جامد انجام شد. نمونه‌ها به شکل لوح (disk) با قطر ۲۵ mm و ضخامت ۷/۵ mm با استفاده از پرس آزمایشگاهی Carver آماده شدند. آزمایش‌های رئولوژی در حالت پویا و با استفاده از رئومتر ARES بین دو صفحه موازی در حالت نوسانی، در جونیتروزن و بسامد از 10^{-2} rad/s تا 10^2 rad/s انجام شد.

برای بررسی شکل شناسی آمیخته‌ها، نمونه‌ها ابتدا در نیتروزن مایع شکسته شدند، سپس در حلال ۲،۱-دی کلرو اتان به مدت ۷۵ h در دمای ۷۰°C حک (etch) شدند تا فاز EVA خارج شود و تمایز (contrast) بین فازها افزایش یابد. سطح شکست نمونه‌ها پس از خشک شدن کامل آنها، با لایه‌ای از طلا پوشیده شد و به وسیله میکروسکوپ الکترون پویشی مشاهده گردید.

نتایج و بحث

بررسی شکل شناسی

شکل‌های ۱ و ۲ تصاویر میکروسکوپ الکترون پویشی آمیخته‌های LDPE/EVA و HDPE/EVA را در ترکیب درصدی‌های مختلف نشان می‌دهند. در این شکل‌ها حفره‌های به رنگ خاکستری تیره محل فاز EVA است که با حلال خارج شده است. همان‌طور که در شکل‌ها مشاهده می‌شود، هر دو آمیخته دو فازی هستند که این نشان دهنده امتزاج ناپذیر بودن آنهاست. افزون بر این، در هر دو آمیخته با افزایش درصد فاز EVA اندازه قطره‌ها بزرگتر می‌شود تا اینکه در ناحیه وارونگی فاز یعنی در ترکیب درصد ۵۰/۵۰ آمیخته LDPE/EVA هم پیوسته می‌شود. از مقایسه اندازه قطره‌ها در دو آمیخته LDPE/EVA و HDPE/EVA مشاهده می‌شود که اندازه قطره‌ها در آمیخته LDPE/EVA کوچکتر است. این امر به دلیل نسبت گرانروی زیادتر در آمیخته LDPE/EVA و همچنین شباهت ساختاری بیشتر اجزا در این آمیخته است.

بیشتر مطالعات انجام شده روی خواص رئولوژی آمیخته‌های پلیمری مربوط به رئولوژی آمیخته‌های امتزاج ناپذیر است [۴-۸]. در این آمیخته‌ها تنش بین سطحی اثر زیادی روی اندازه قطره‌ها و همچنین توزیع اندازه ذرات دارد. تنش بین سطحی نیز تحت تاثیر عواملی چون شباهت ساختاری اجزا و ترکیب درصد آمیخته و وجود سازگارکننده قرار دارد [۹].

مهمنترین مدل ارائه شده برای بررسی رفتار رئولوژی امولسیون‌های با فاز زمینه (ماتریس) و فاز پراکنده ویسکوالاستیک، مدل پالیرن است [۱۰]. با استفاده از این مدل همچنین می‌توان تنش بین سطحی را در آمیخته‌های پلیمری دوفازی تخمین زد [۱۱، ۱۲]. این مدل توسط افراد زیادی برای بررسی آمیخته‌های مختلف بکار گرفته شده است [۱۳-۱۵]. در این مطالعه، ابتدا رفتار رئولوژی و شکل شناسی آمیخته‌های پلی‌اتیلن - وینیل استات با پلی‌اتیلن سبک و سنگین به طور جداگانه بررسی و سپس مدل پالیرن برای تخمین تنش بین سطحی بکار گرفته شد.

تجربی

مواد

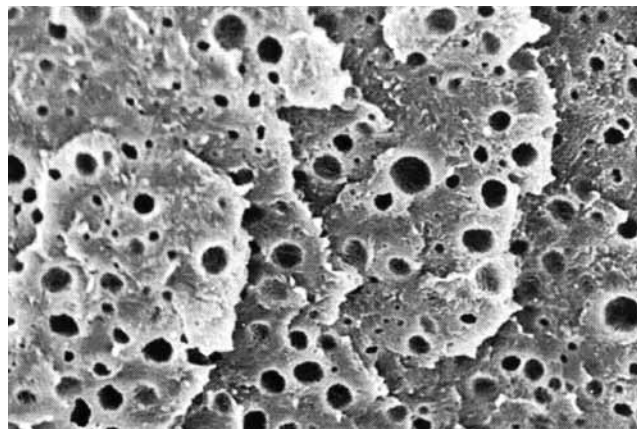
در این پژوهش، از پلی‌اتیلن سنگین از نوع MG ۷۵۴۷ A با شاخص جریان مذاب برابر 10 min ۴ g/ min محصول شرکت برالیس دانمارک، پلی‌اتیلن سبک از نوع LD ۰۰ BW با شاخص جریان مذاب برابر $2\text{ g}/10\text{ min}$ ۲ محصول شرکت اکسون موبیل آلمان، کوپلیمر اتیلن - وینیل استات از نوع UL ۰۰۲۸ با مقدار ۱۸ درصد وینیل استات و شاخص جریان مذاب برابر 10 min ۰/۷ g/ min محصول شرکت اکسون موبیل و ضد اکسیده ایرگانوکس ۱۰۱۰ با چگالی 1150 kg/m^3 محصول شرکت سیباگایگی سوئیس استفاده شد.

دستگاهها

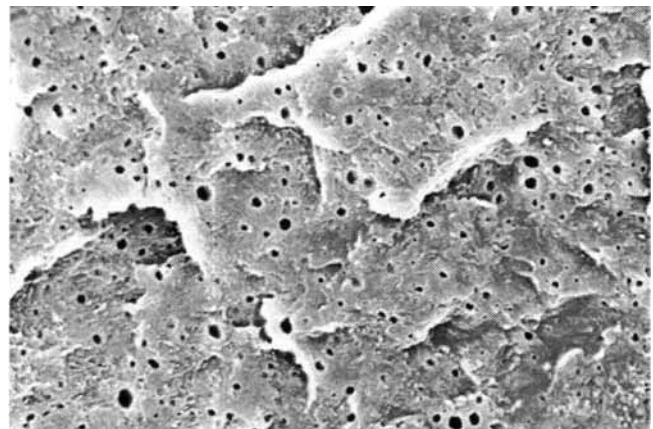
در این پژوهش، پرس فشاری Fortune مدل N ۴۰۰ kN، رئومتر Scientific با صفحات موازی ARES، میکروسکوپ الکترون پویشی SEM (SEM) از نوع LEO ۴۳۵ VP، مخلوط کن داخلی برابندر مدل PL ۲۰۰۰ و پرس آزمایشگاهی Carver بکار گرفته شد.

روشها

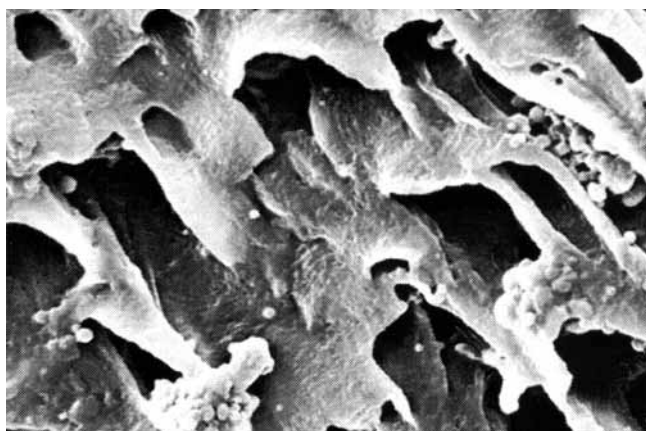
آمیخته‌های LDPE/EVA و HDPE/EVA با مقادیر مختلف EVA (۰ تا



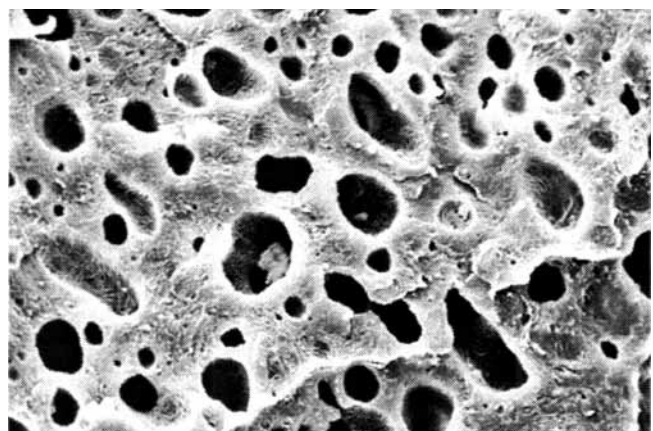
(ب)



(الف)



(د)



(ج)

شکل ۱ شکل شناسی آمیخته HDPE/EVA در نسبت‌های مختلف فاز EVA: (الف) ۱۰ درصد، (ب) ۲۰ درصد، (ج) ۳۰ درصد و (د) ۵۰ درصد.

$$H(\omega) = \frac{(\epsilon\alpha / R_d)(2G_m^*(\omega) + 5G_d^*(\omega)) +}{(\epsilon \cdot \alpha / R_d)(G_m^*(\omega) + G_d^*(\omega)) +} \\ \frac{(G_d^*(\omega) - G_m^*(\omega))(16G_m^*(\omega) + 19G_d^*(\omega))}{(2G_d^*(\omega) + 3G_m^*(\omega))(16G_m^*(\omega) + 19G_d^*(\omega))}$$

در معادلات ذکر شده R_d و Φ به ترتیب شعاع و کسر حجمی فاز پراکنده، $G_b^*(\omega)$ ، $G_m^*(\omega)$ ، $G_d^*(\omega)$ و α به ترتیب مدول مخلوط آمیخته، زمینه و فاز پراکنده، تنش بین سطحی و بسامد هستند. شکلهای ۵ و ۶ مقایسه بین داده‌های تجربی و پیش‌بینی مدل پالیرن را برای دو آمیخته LDPE/EVA و HDPE/EVA نشان می‌دهند. مطابق شکلها، پیش‌بینی مدل در توافق نسبتاً خوبی با داده‌های تجربی است. تنش بین سطحی محاسبه شده از این مدل برای آمیخته LDPE/EVA برابر $0.001 N/m$ و برای آمیخته HDPE/EVA برابر $0.002 N/m$ است. تنش بین سطحی کمتر در آمیخته LDPE/EVA به دلیل شباهت ساختاری بیشتر بین اجزا

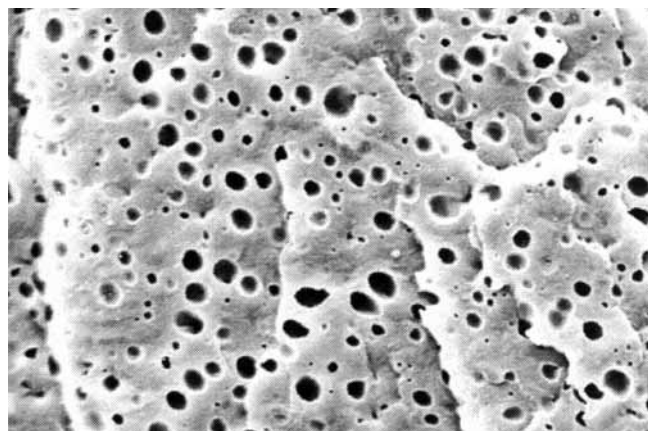
بررسی رئولوژی

مدول برشی ذخیره‌ای دو آمیخته HDPE/EVA و LDPE/EVA در شکلهای ۳ و ۴ نشان داده شده است. در این دو شکل مشاهده می‌شود با افزایش EVA به پلی‌اتیلن مدول برشی ذخیره‌ای آمیخته بر اساس قانون اختلاط افزایش می‌یابد. فاصله بیشتر منحنیها در آمیخته HDPE/EVA مربوط به اختلاف بیشتر خواص رئولوژی اجزای خالص در این آمیخته است.

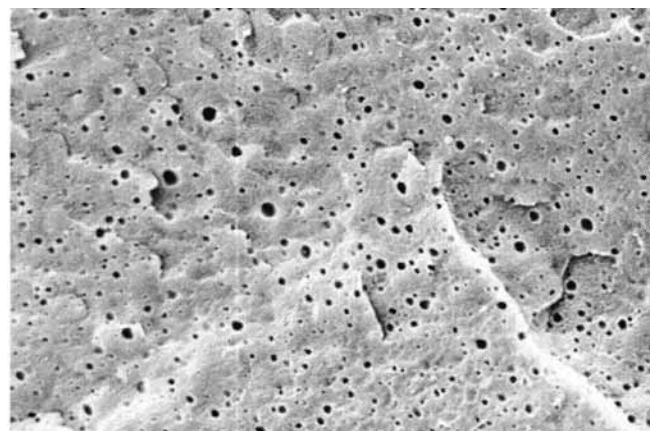
شکل ساده شده مدل پالیرن [۱۰] که توسط گرابلینگ و همکاران [۱۶] ارائه شده است، توزیع اندازه ذرات را به طور تک جزئی در نظر می‌گیرد. این معادله به شکل زیر است:

$$G_b^* = G_m^* \frac{1 + 3\varphi H(\omega)}{1 - 2\varphi H(\omega)} \quad (1)$$

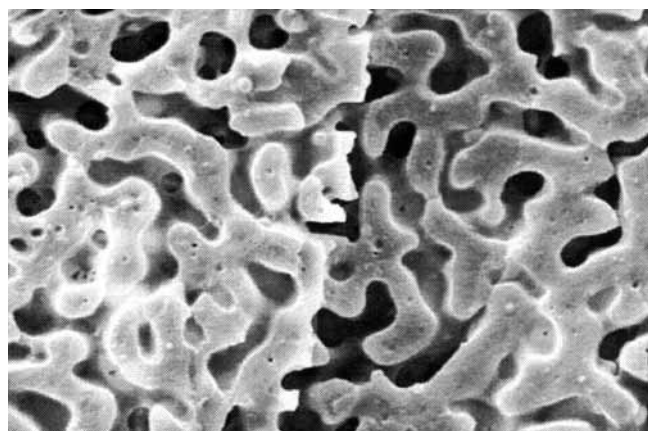
که در آن:



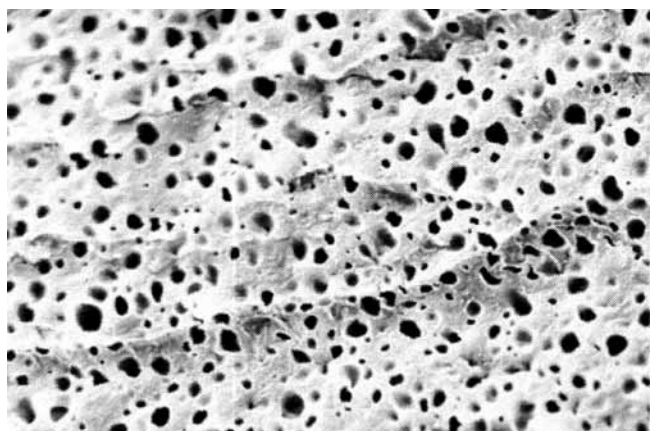
(ب)



(الف)

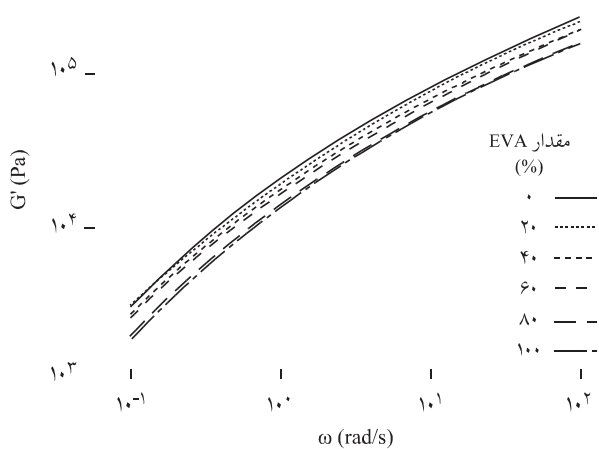


(د)

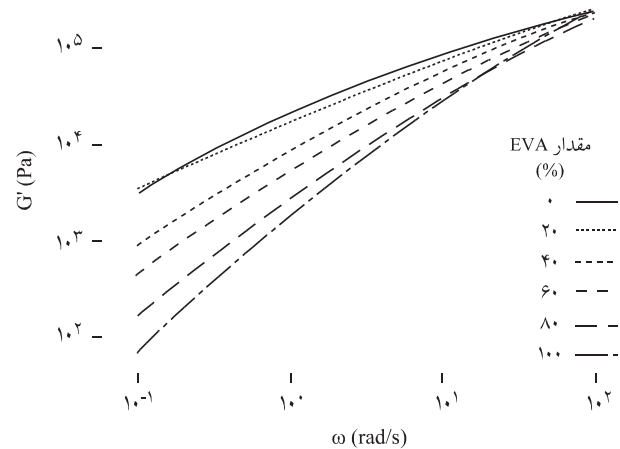


(ج)

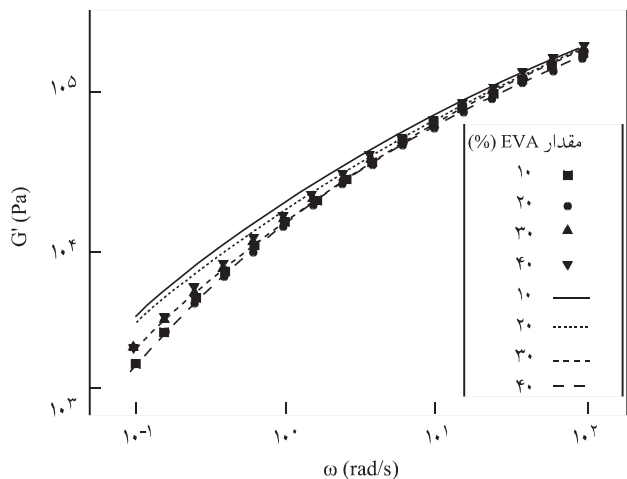
شکل ۲ شکل شناسی آمیخته LDPE/EVA در نسبت‌های مختلف فاز EVA: (الف) ۱۰ درصد، (ب) ۲۰ درصد، (ج) ۳۰ درصد و (د) ۵۰ درصد.



شکل ۴ مدول بررشی ذخیره‌ای آمیخته LDPE/EVA



شکل ۳ مدول بررشی ذخیره‌ای آمیخته HDPE/EVA

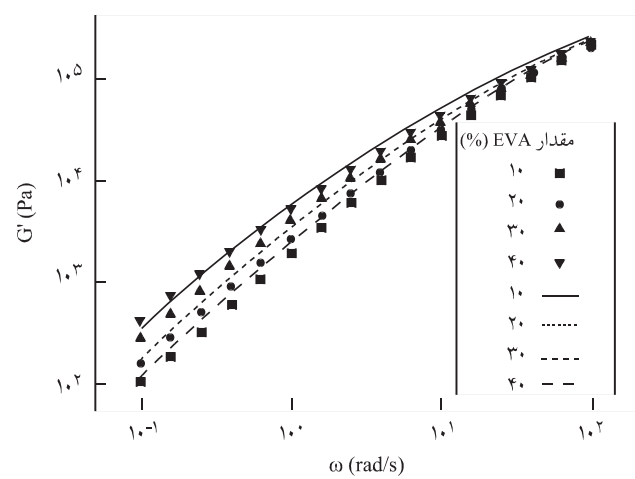


شکل ۶ مقایسه داده‌های رئولوژی تجربی و نظری برای آمیخته LDPE/EVA (نقاط داده‌های تجربی و خطوط نتایج نظری هستند).

- با افزایش جزء EVA در هر دو آمیخته، اندازه ذرات فاز پراکنده تا رسیدن به ناحیه وارونگی فاز افزایش می‌یابد.

- ناحیه وارونگی فاز در هر دو آمیخته نزدیک به ترکیب درصد ۵۰/۵۰ است.

- مدل پالبرن به طور قابل قبولی رفتار رئولوژی این دو آمیخته را پیش‌بینی می‌کند و مقادیر رضایت‌بخشی را برای تنفس بین سطحی تخمین می‌زنند.



شکل ۵ مقایسه داده‌های رئولوژی تجربی و نظری برای آمیخته HDPE/EVA (نقاط داده‌های تجربی و خطوط نتایج نظری هستند).

در این آمیخته است. از نتایج رئولوژی و شکل شناسی نیز همین نتیجه بدست می‌آید.

نتیجه‌گیری

نتایج بدست آمده از این پژوهش را می‌توان به موارد زیر خلاصه کرد: آمیخته‌های LDPE/EVA و همچنین HDPE/EVA امتزاج پذیر

مراجع

- Kong Y. and Hay J.N., Miscibility and Crystallization Behaviour of Poly(ethylene terephthalate)/Polycarbonate Blends, *Polymer*, **43**, 1805-1811, 2002.
- Aravind I., Albert P., Ranganathaiah C., Kurian J.V. and Thomas S., Compatibilizing Effect of EPM-g-MA in EPDM/Poly(trimethylene terephthalate) Incompatible Blends, *Polymer*, **45**, 4925-4937, 2004.
- Supaphol P., Dangseeyun N., Thanomkiat P. and Nithitanakul M., Thermal, Crystallization, Mechanical, and Rheological Characteristics of Poly(trimethylene terephthalate)/Poly(ethylene terephthalate) Blends, *J. Polym. Sci. Polym. Phys.*, **42**, 676-686, 2004.
- Kernick W.A. and Wagner N.J., Role of Liquid-Crystalline Polymer Rheology on the Evolving Morphology of Immiscible Blends Containing Liquid Crystalline Polymers, *J. Rheol.*, **43**, 521-549, 1999.
- Jeon H.S., Nakatani A.I., Han C.C. and Colby R.H., Melt Rheology of Lower Critical Solution Temperature Polybutadiene/Polyisoprene Blends, *Macromolecules*, **33**, 9732-9739, 2000.
- Zhang Z.L., Zhang H.D., Yang Y.L., Vinckier I. and Laun H.M., Rheology and Morphology of Phase-Separating Polymer Blends, *Macromolecules*, **34**, 1416-1429, 2001.
- Peon J., Vega J.F., Amo B.D. and Martnez-Salazar J., Phase Morphology and Melt Viscoelastic Properties in Blends of Ethylene/vinyl Acetate Copolymer and Metallocene-Catalysed Linear Polyethylene, *Polymer*, **44**, 2911-2918, 2003.
- Castro M., Carrot C. and Prochazka F., Experimental and Theoretical Description of Low Frequency Viscoelastic Behaviour in Immiscible Polymer Blends, *Polymer*, **45**, 4095-4104, 2004.
- Moan M., Huitric P., MØdØric P. and Jarrin J., Rheological Prop-

- erties and Reactive Compatibilization of Immiscible Polymer Blends, *J. Rheol.*, **44**, 1227-1245, 2000.
10. Palierne J.F., Linear Rheology of Viscoelastic Emulsions with Interfacial Tension, *Rheol. Acta.*, **29**, 204-214, 1990.
11. Minale M., Moldenaers P. and Mewis J., Effect of Shear History on the Morphology of Immiscible Polymer Blends, *Macromolecules*, **30**, 5470-5475, 1997.
12. Bousmina M., Rheology of Polymer Blends: Linear Model for Viscoelastic Emulsions, *Rheol. Acta.*, **38**, 73-83, 1999.
13. Asthana H. and Jayaraman K., Rheology of Reactively Compatibilized Polymer Blends with Varying Extent of Interfacial Reaction, *Macromolecules*, **32**, 3412-3419, 1999.
14. Shi D., Ke Z., Yang J., Gao Y., Wu J. and Yin J., Rheology and Morphology of Reactively Compatibilized PP/PA6 Blends, *Macromolecules*, **35**, 8005-8012, 2002.
15. Hemelrijck E.V., Puyvelde P.V., Velankar S., Macosko C.W. and Moldenaers P., Interfacial Elasticity and Coalescence Suppression in Compatibilized Polymer Blends, *J. Rheol.*, **48**, 143-158, 2004.
16. Graebling D., Froelich D. and Muller R., Viscoelastic Properties of Polydimethylsiloxane-Polyoxiethylene Blends in the Melt Emulsion Model, *J. Rheol.*, **33**, 1283-1291, 1989.